

文章编号: 1000-8608(2018)03-0302-07

遭受 DoS 攻击的短时延网络控制系统保性能控制

何胜权, 俞立*

(浙江工业大学信息工程学院, 浙江 杭州 310023)

摘要: 针对 DoS(Denial-of-Service)攻击, 分析了具有短时延的网络控制系统(networked control systems, NCS)的稳定性, 设计了该系统的保性能控制器。首先, 通过采样周期的重新定义, 把该类 NCS 建模成离散切换系统模型, 该模型可以把短时延和 DoS 攻击统一起来。接着, 用离散切换系统的分析方法, 给出了一个该类 NCS 指数稳定的充分条件。进一步, 在给定的保性能水平下, 设计了相应的保性能控制器。最后, 通过一个仿真示例说明了结果的有效性。

关键词: 网络控制系统(NCS); DoS 攻击; 短时延; 切换系统; 保性能控制

中图分类号: TP273

文献标识码: A

doi:10.7511/dllgxb201803011

0 引言

网络控制系统(networked control systems, NCS)由控制对象、传感器、控制器、执行器和通信网络组成。NCS 由于具备布线灵活、安装方便和维护费用低等优势, 在控制领域的作用越来越明显, 例如, 在移动传感器网络^[1]、无人机控制^[2]、车辆自主编队^[3]等领域广泛存在。NCS 传感器与控制器、控制器与执行器之间的数据传输是通过通信网络来完成的, 因此 NCS 与传统控制系统最主要的区别就在于数据传输方式的不同。正是由于 NCS 的这一数据传输特点, 其不可避免地存在着网络诱导时延^[4]、数据包丢失^[5]等问题, 其中又以网络短时延问题最为常见。因此, 本文主要针对包含短时延的 NCS 进行研究。

随着互联网技术快速发展, NCS 的可移动性和可移植性得到了极大的提升。同时, 互联网技术更深层次的发展, 给 NCS 共享网络的安全性带来了新的挑战。网络技术的发展打破了原有控制系统的封闭性, 而且随着 TCP/IP(或 UCP/IP)协议^[6]商业标准化的形成, 无形中也增加了 NCS 受到外界攻击的概率。由此可见, NCS 的安全性问题日益突出。如 2012 年 5 月底, 破坏力巨大的“火焰”(flame)病毒在中东地区广泛传播, 对伊朗等

中东国家的能源工业进行猛烈攻击, 严重影响了这些国家一些重要能源控制系统的正常运行^[7]。近年来, 类似的网络攻击事件层出不穷, 由此可见, 针对 NCS 的安全性问题展开研究尤为重要。

当然, 尽管在 NCS 中网络攻击的形式日益多样化, 但其中还是有几种比较典型的网络攻击形式, 如 DoS(Denial-of-Service)攻击^[8]、欺骗攻击^[9]等。本文主要针对在实际中攻击范围最广、最容易实现的 DoS 攻击进行研究。DoS 攻击即拒绝服务攻击, 该攻击作用于 NCS 的共享网络, 直接导致的后果是: 在 DoS 攻击过程中, NCS 的控制器或执行器无法接收到测量信息或控制信息, 因此, 对实时性要求高的系统来说, 不仅会降低系统的性能, 还可能造成系统的不稳定。文献[10]提出了一种 JDL 数据融合模型框架, 在该框架下通过主从博弈来描述不同网络层数据间的关系, 并研究了 DoS 攻击的弹性控制。文献[11]针对 DoS 攻击, 系统性地设计了基于输出的动态事件触发控制(event-triggered control, ETC)系统, 该 ETC 策略可以保证系统的性能和鲁棒性, 使系统和 DoS 攻击在通信资源的使用上达到平衡。文献[12]给出了一般的控制系统在欺骗攻击和 DoS 攻击下的估计问题, 但未针对 NCS, 特别是具有

收稿日期: 2017-10-28; 修回日期: 2017-12-28。

基金项目: 国家自然科学基金资助项目(61673351); 浙江省新苗人才计划资助项目(2016R403071)。

作者简介: 何胜权(1993-), 男, 硕士生, E-mail: shengquanhe@163.com; 俞立*(1961-), 男, 教授, 博士生导师, E-mail: lyu@zjut.edu.cn。

短时延的NCS。而对NCS分析的文献,多数仅考虑网络时延、数据包丢失等经典问题的影响。

基于此,本文同时考虑短时延和DoS攻击问题对NCS性能的影响,主要针对执行器的执行周期比传感器的采样周期更快的这一类NCS^[13-14],同时,把该类NCS的短时延和DoS攻击问题统一建模成离散切换系统模型^[15],并在给定的保性能指标下,设计该NCS的保性能控制器。最后通过仿真示例验证本文结果的有效性。

1 问题描述与建模

1.1 问题描述

考虑如下连续LTI系统:

$$\dot{x}(t) = A_p x(t) + B_p u(t) \quad (1)$$

其中 $x(t) \in \mathbb{R}^n$ 是系统状态, $u(t) \in \mathbb{R}^d$ 是系统输入, A_p 与 B_p 分别是适当维数的状态矩阵和输入矩阵。

本文针对的系统(1),其执行器的执行周期 T_0 比传感器的采样周期 T 更快,并假设采样周期是执行周期的整数倍,即满足 $T=nT_0, n \geq 1$ 且为正整数。另外,由于系统(1)中存在短时延 $\tau < T$,这里不妨假设短时延 $\tau \leq \hat{n}T_0, \hat{n} < n, \hat{n}T_0$ 表示时延上界。

首先,仅考虑系统遭受DoS攻击的情况,此时执行器的输入信号将无法保证及时更新,会出现如下两种情况:(1)在任意一个采样周期 $[kT, (k+1)T]$ 内,同时存在 $u(k)$ 和 $u(k-1)$ 两个输入量。(2)在任意 m 个采样周期 $[kT, (k+m)T]$ 内,同时存在 $u(k)$ 和 $u(k-1)$ 两个输入量, $m \in M \triangleq \{1, 2, \dots, \bar{M}\}$,其中 \bar{M} 是给定的有限集合 M 中的最大正整数。 m 的大小刻画了单次DoS攻击所持续的时间的长短, \bar{M} 反映的是单次DoS攻击持续的最长时间。因此,可以通过重新定义系统的采样时刻来统一上述两种攻击情况,记系统新的采样时刻分别为 $t_0, t_1, \dots, t_l, l \in N$,其中, N 为有限个正整数的集合,系统新的采样周期所组成的集合为 $H \in MT$ 。进一步,把每个采样周期中的短时延也考虑进来,图1给出了一个在新的采样时刻下的执行器输入信号的时序图。

图中, $u_r(k)$ 表示网络时延作用下 k 时刻的输入信号, $u(k)$ 表示遭受DoS攻击时 k 时刻的输入信号。虚线反映了短时延单个因素对执行器输入信号的影响,图中 $u_r(k)$ 信号在 $[kT, kT + \hat{n}T_0]$ 时

间内到达,因此执行器在 $kT + \hat{n}T_0$ 时刻更新输入;实线表示系统遭受DoS攻击时输入信号的时序图,当 $u(k)$ 信号到达时,执行器就在下一执行周期更新输入。由图1可知,在周期 $[t_l, t_{l+1}]$ 内,同时存在 $u(t_{l-1})$ 和 $u(t_l)$ 两个输入信号;在周期 $[t_{l+1}, t_{l+2}]$ 内,同时存在 $u(t_l)$ 和 $u(t_{l+1})$ 两个输入信号。因此就把短时延和DoS攻击两个问题进行了统一,之后仅需考虑系统遭受DoS攻击的影响即可。

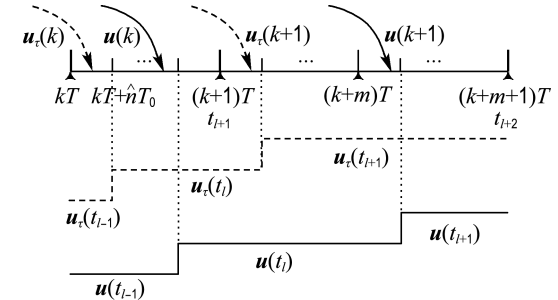


图1 时序图

Fig. 1 Timing diagram

通过定义新的采样周期 H ,不仅把短时延和DoS攻击两个问题统一起来,还能把上述两类DoS攻击的情况统一起来。如图1所示,在周期 $[t_l, t_{l+1}]$ 内,同时存在 $u(t_{l-1})$ 和 $u(t_l)$ 两个输入量,采样周期 $T_{sd} = nT_0$;在周期 $[t_{l+1}, t_{l+2}]$ 内,同时存在 $u(t_l)$ 和 $u(t_{l+1})$ 两个输入量,采样周期 $T_{ld} = mT_0$ 。当 $m=1$ 时,两类DoS攻击等价,即第1类DoS攻击是第2类DoS攻击的特殊情况。因此,只需要分析第2类DoS攻击对系统(1)的影响即可。

1.2 闭环系统建模

记 $h_k \in H, k \in N$, 表示在 $[t_k, t_{k+1}]$ 时间内的采样周期时长,即 $h_k = t_{k+1} - t_k$ 。假设在采样周期 h_k 内执行器的两个输入量 $u(t_{k-1})$ 和 $u(t_k)$ 的作用时间分别为 $n_1(k)T_0$ 和 $n_0(k)T_0$,且符合关系式 $n_1(k)T_0 + n_0(k)T_0 = h_k = mnT_0$ 。

对系统(1)考虑DoS攻击的影响,得到如下离散系统:

$$x(t_{k+1}) = A(h_k)x(t_k) + B(h_k)u(t_k) + B(h_{k-1})u(t_{k-1}) \quad (2)$$

其中 $A(h_k) = e^{A_p h_k}$, $B(h_k) = \int_{n_1(k)T_0}^{h_k} e^{A_p \tau} B_p d\tau$,

$$B(h_{k-1}) = \int_0^{n_1(k)T_0} e^{A_p \tau} B_p d\tau.$$

定义 $A_0 = e^{A_p T_0}$, $B_0 = \int_0^{T_0} e^{A_p \tau} B_p d\tau$, 则可得

$$A(h_k) = e^{A_p h_k} = A_0^{mm}$$

$$B(h_k) = \int_{n_1(k)T_0}^{h_k} e^{A_p \tau} B_p d\tau = \sum_{i=n_1(k)}^{mm-1} A_0^i B_0$$

$$B(h_{k-1}) = \int_0^{n_1(k)T_0} e^{A_p \tau} B_p d\tau = \sum_{i=0}^{n_1(k)-1} A_0^i B_0$$

所以, 系统(2)等价于

$$\begin{aligned} x(t_{k+1}) &= A_0^{mm} x(t_k) + \sum_{i=n_1(k)}^{mm-1} A_0^i B_0 u(t_k) + \\ &\quad \sum_{i=0}^{n_1(k)-1} A_0^i B_0 u(t_{k-1}) \end{aligned} \quad (3)$$

当 $n_1(k) \in Z \triangleq \{0, 1, \dots, mn\}$ 取不同值时, 系统(3)会表现成相应不同的形式. 因此, 可将系统(3)写成如下开环切换系统模型:

$$S_{\sigma(t_k)} : x(t_{k+1}) = A_{\sigma(t_k)} x(t_k) + B_{\sigma(t_k)} u(t_k) + \tilde{B}_{\sigma(t_k)} u(t_{k-1}) \quad (4)$$

$$\text{其中 } B_{\sigma(t_k)} = \sum_{i=n_1(k)}^{mm-1} A_0^i B_0, \quad \tilde{B}_{\sigma(t_k)} = \sum_{i=0}^{n_1(k)-1} A_0^i B_0,$$

$$A_{\sigma(t_k)} = A_0^{mm}, \sigma(t_k) \in Z \text{ 是切换信号.}$$

进一步, 选取反馈控制律 $u(t_k) = Kx(t_k)$, 得到如下闭环切换系统模型:

$$S_{\sigma(t_k)} : x(t_{k+1}) = A_{\sigma(t_k)} x(t_k) + B_{\sigma(t_k)} x(t_{k-1}) \quad (5)$$

$$\text{其中 } A_{\sigma(t_k)} = A_{\sigma(t_k)} + B_{\sigma(t_k)} K, B_{\sigma(t_k)} = \tilde{B}_{\sigma(t_k)} K.$$

离散系统(5)等价于如下描述的系统: 该系统的执行周期为 T_0 , 采样周期为 $n_1(k)T_0$, $n_1(k) \in Z$. 因此, 在切换信号 $\sigma(t_k)$ 的作用下, $S_{\sigma(t_k)}$ 描述了该系统的状态反馈模型.

2 稳定性分析

定义 1 对于给定切换信号 $\sigma(t_k)$ 和任意的 $t_k \geq 1$, 令 $N_\sigma[t_0, t_k]$ 表示切换信号 $\sigma(t_k)$ 在时间间隔 $[t_0, t_k]$ 内的切换次数, 若存在 $N_0 \geq 0, t_a \geq 0$, 使得 $N_\sigma[t_0, t_k] \leq N_0 + (t_k - t_0)/t_a$ 成立, 那么 t_a 称为切换信号 $\sigma(t_k)$ 的平均驻留时间, N_0 称为抖动界.

定义 2 如果对于任意给定的初始条件 $x(t_0) \in \mathbf{R}^n$, 系统(5)的解满足 $\|x(t_k)\| \leq c\rho^{t_k} \|x(t_0)\|$, 则系统(5)是指数稳定的, 且具有指数衰减率 $\rho < 1$, 其中 $c > 0$, 是常数.

令 n_j 表示子系统 S_j 在时间间隔 $[t_0, t_k]$ 内激活的次数, $j \in Z$. 以下定理给出了系统(5)指数稳定的一个充分条件.

定理 1 考虑系统(5), 若存在正标量 $\lambda_j > 0$,

$\lambda < 1$ 和 $\mu \geq 1$, 以及适当维数的矩阵 $P_j \geq 0, Q_j \geq 0, j \in Z$, 使得以下不等式

$$\Omega_j \triangleq \begin{pmatrix} A_j^T \\ B_j^T \end{pmatrix} P_j (A_j \quad B_j) + \begin{pmatrix} -\lambda^2 P_j + Q_j & 0 \\ 0 & -\lambda_j^2 Q_j \end{pmatrix} \leq 0 \quad (6)$$

$$P_\alpha \leq \mu P_\beta, Q_\alpha \leq \mu Q_\beta; \alpha, \beta \in Z \quad (7)$$

$$\sum_{j=1}^{mm} n_j (\ln \lambda_j - \ln \lambda) \leq 0 \quad (8)$$

$$t_a > \bar{t}_a \triangleq \frac{\ln \mu}{2 \ln(1/\lambda)} \quad (9)$$

成立, 那么系统(5)指数稳定, 并具有指数衰减率

$$\rho(\lambda, t_a) = \lambda \mu^{1/2t_a}.$$

证明 系统(5)的子系统模型为

$$S_j : x(t_{k+1}) = A_j x(t_k) + B_j x(t_{k-1}); j \in Z \quad (10)$$

为系统(10)选取如下 Lyapunov 函数:

$$V_j(t_k) = x^T(t_k) P_j x(t_k) + x^T(t_{k-1}) Q_j x(t_{k-1})$$

记 $\eta(t_k) = (x^T(t_k) \quad x^T(t_{k-1}))^T$, 则由不等式(6)可得

$$V_j(t_{k+1}) - \lambda_j^2 V_j(t_k) = \eta^T(t_k) \Omega_j \eta(t_k) < 0$$

即可得

$$V_j(t_{k+1}) < \lambda_j^2 V_j(t_k) \quad (11)$$

为系统(5)选取如下 Lyapunov 函数:

$$V_{\sigma(t_k)}(t_k) = x^T(t_k) P_{\sigma(t_k)} x(t_k) + x^T(t_{k-1}) Q_{\sigma(t_k)} x(t_{k-1})$$

对于切换信号 $\sigma(t_k)$, 令 $t_{k1} < \dots < t_{ki}, i \geq 1$, 表示 $\sigma(t_k)$ 在时间间隔 $[t_0, t_k]$ 内的切换时刻. 由于系统(5)的状态在切换点不跳变, 结合不等式(7)可得

$$V_{\sigma(t_k)}(t_{ki}) \leq \mu V_{\sigma(t_{k(i-1)})}(t_{ki}) \quad (12)$$

由不等式(6)、(11)和(12)递推可得

$$\begin{aligned} V_{\sigma(t_k)}(t_k) &< \mu \lambda_{\sigma(t_{ki})}^{2(t_k - t_{ki})} V_{\sigma(t_{k(i-1)})}(t_{ki}) \leq \dots \leq \\ &\quad \mu^{N_\sigma[t_0, t_k]} \lambda_{\sigma(t_{ki})}^{2(t_k - t_{ki})} \lambda_{\sigma(t_{k(i-1)})}^{2(t_{ki} - t_{k(i-1)})} \dots \\ &\quad \lambda^{2t_{k1}} V_{\sigma(t_0)}(t_0) \leq \\ &\quad \mu^{N_\sigma[t_0, t_k]} \lambda^{2t_k} V_{\sigma(t_0)}(t_0) = \\ &\quad \rho^{2t_k} (\lambda, t_a) V_{\sigma(t_0)}(t_0) \end{aligned} \quad (13)$$

令 $\epsilon_1 = \min_{j \in Z} \lambda_{\min}(P_j)$, $\epsilon_2 = \max_{j \in Z} (\lambda_{\max}(P_j) + \lambda_{\max}(Q_j))$, 则由式(13)可得

$$\epsilon_1 \|x(t_k)\|^2 \leq V_{\sigma(t_k)}(t_k) < \rho^{2t_k} (\lambda, t_a) \epsilon_2 \|x(t_0)\|^2 \quad (14)$$

继而可得

$$\|x(t_k)\| < \sqrt{\epsilon_2 / \epsilon_1} \rho^{t_k} (\lambda, t_a) \|x(t_0)\| \quad (15)$$

此外, 不等式(9)和 $\lambda < 1$ 确保了 $\rho(\lambda, t_a) < 1$. 因此, 由定义 2 可知, 系统(5)指数稳定, 且具有指数衰减率 $\rho(\lambda, t_a) = \lambda \mu^{1/2t_a}$. 证毕.

3 保性能控制器设计

本文针对系统(5)考虑如下保性能指标：

$$J = \sum_{t_{k-1}=0}^{+\infty} [\mathbf{x}^T(t_k) \mathbf{G}_1 \mathbf{x}(t_k) + \mathbf{u}^T(t_k) \mathbf{G}_2 \mathbf{u}(t_k) + \mathbf{u}^T(t_{k-1}) \mathbf{G}_3 \mathbf{u}(t_{k-1})] \quad (16)$$

其中 $\mathbf{G}_1, \mathbf{G}_2$ 和 \mathbf{G}_3 都是给定的正定常数矩阵。如果在反馈控制律 $\mathbf{u}(t_k) = \mathbf{Kx}(t_k)$ 的作用下，系统(5)是指数稳定的，且性能 J 是有界的，满足 $J \leq \bar{J}$ ，那么该反馈控制律就是系统(5)的保性能控制器，系统具有保性能水平 \bar{J} 。下面给出一个使系统(5)指数稳定的充分条件。

定理2 考虑系统(5)，若存在正标量 $\lambda_j > 0$ ， $\lambda < 1$ 和 $\mu \geq 1$ ，以及适当维数矩阵 $\mathbf{P}_j \geq 0, \mathbf{Q}_j \geq 0$ ， $j \in Z$ ，使得不等式(7)~(9)以及不等式

$$\tilde{\Omega}_j \triangleq \begin{pmatrix} \mathbf{A}_j^T \\ \mathbf{B}_j^T \end{pmatrix} \mathbf{P}_j (\mathbf{A}_j \quad \mathbf{B}_j) + \begin{pmatrix} \mathbf{A}_1 & \mathbf{0} \\ \mathbf{0} & \mathbf{A}_2 \end{pmatrix} < \mathbf{0} \quad (17)$$

成立，其中 $\mathbf{A}_1 = -\lambda^2 \mathbf{P}_j + \mathbf{Q}_j + \mathbf{G}_1 + \mathbf{K}^T \mathbf{G}_2 \mathbf{K}$, $\mathbf{A}_2 = -\lambda_j^2 \mathbf{Q}_j + \mathbf{K}^T \mathbf{G}_3 \mathbf{K}$ 。则系统(5)在保性能控制器 $\mathbf{u}(t_k) = \mathbf{Kx}(t_k)$ 作用下指数稳定，且有指数衰减率 $\rho(\lambda, t_a) = \lambda \mu^{1/2t_a}$ ，同时系统(5)具有保性能水平

$$\bar{J}(\lambda, t_a) = \frac{1 - \lambda_{\min}^2}{\rho^{-2t_k}(\lambda, t_a) - 1} V_{\sigma(t_0)}(t_0), \lambda_{\min} = \min_{j \in Z} \{\lambda_j\}.$$

证明 因为 $\tilde{\Omega}_j < \mathbf{0}$ 可以保证 $\Omega_j < \mathbf{0}$ ，故由定理1可知，系统(5)是指数稳定的，且具有指数衰减率 $\rho(\lambda, t_a) = \lambda \mu^{1/2t_a}$ 。故接下来证明其保性能水平。

令

$$\mathbf{J}(t_k) = \mathbf{x}^T(t_k) \mathbf{G}_1 \mathbf{x}(t_k) + \mathbf{u}^T(t_k) \mathbf{G}_2 \mathbf{u}(t_k) + \mathbf{u}^T(t_{k-1}) \mathbf{G}_3 \mathbf{u}(t_{k-1})$$

与不等式(11)的推导过程类似，可得

$$\begin{aligned} \mathbf{V}_j(t_{k+1}) - (\lambda_j^2 \mathbf{V}_j(t_k) - \mathbf{J}(t_k)) &= \\ \boldsymbol{\eta}^T(t_k) \left(\begin{array}{c} \mathbf{A}_j^T \mathbf{P}_j \mathbf{A}_j - \lambda_j^2 \mathbf{P}_j + \mathbf{Q}_j + \mathbf{G}_1 + \mathbf{K}^T \mathbf{G}_2 \mathbf{K} \\ \mathbf{B}_j^T \mathbf{P}_j \mathbf{A}_j \\ \mathbf{A}_j^T \mathbf{P}_j \mathbf{B}_j \\ \mathbf{B}_j^T \mathbf{P}_j \mathbf{B}_j - \lambda_j^2 \mathbf{Q}_j + \mathbf{K}^T \mathbf{G}_3 \mathbf{K} \end{array} \right) \boldsymbol{\eta}(t_k) &= \\ \boldsymbol{\eta}^T(t_k) \tilde{\Omega}_j \boldsymbol{\eta}(t_k) &< 0 \end{aligned}$$

即

$$\mathbf{V}_j(t_{k+1}) < \lambda_j^2 \mathbf{V}_j(t_k) - \mathbf{J}(t_k) \quad (18)$$

对于切换信号 $\sigma(t_k)$ ，令 $t_{k1} < \dots < t_{ki}, i \geq 1$ ，表示 $\sigma(t_k)$ 在时间间隔 $[t_0, t_k]$ 内的切换时刻，则可得

$$\mathbf{V}_{\sigma(t_0)}(t_k) < \lambda_{\sigma(t_0)}^2 \mathbf{V}_{\sigma(t_0)}(t_{k1}) - \mathbf{J}(t_{k1}) <$$

$$\lambda_{\sigma(t_0)}^2 (\lambda_{\sigma(t_0)}^2 \mathbf{V}_{\sigma(t_0)}(t_{k(i-1)}) -$$

$$\mathbf{J}(t_{k(i-1)}) - \mathbf{J}(t_{ki}) < \dots <$$

$$\lambda_{\sigma(t_0)}^{2(t_k - t_0)} \mathbf{V}_{\sigma(t_0)}(t_0) - \sum_{s=t_0}^{t_k-1} \lambda_{\sigma(t_0)}^{2(t_k - 1-s)} \mathbf{J}(s) \quad (19)$$

结合式(12)和(19)可递推得到

$$\begin{aligned} \mathbf{V}_{\sigma(t_k)}(t_k) &< \lambda_{\sigma(t_{k1})}^{2(t_k - t_{k1})} \mathbf{V}_{\sigma(t_{k1})}(t_{k1}) - \sum_{s=t_{k1}}^{t_k-1} \lambda_{\sigma(t_{k1})}^{2(t_k - 1-s)} \mathbf{J}(s) \leqslant \\ &\quad \mu \lambda_{\sigma(t_{k1})}^{2(t_k - t_{k1})} \mathbf{V}_{\sigma(t_{k(i-1)})}(t_{k(i-1)}) - \\ &\quad \sum_{s=t_{k1}}^{t_k-1} \lambda_{\sigma(t_{k1})}^{2(t_k - 1-s)} \mathbf{J}(s) < \dots < \\ &\quad \mu \lambda_{\sigma(t_{k1})}^{2(t_k - t_{k1})} \left(\lambda_{\sigma(t_{k(i-1)})}^{2(t_{k1} - t_{k(i-1)})} \times \right. \\ &\quad \left. \mathbf{V}_{\sigma(t_{k(i-1)})}(t_{k(i-1)}) - \right. \\ &\quad \left. \sum_{s=t_{k1}}^{t_{k1}-1} \lambda_{\sigma(t_{k1})}^{2(t_{k1} - 1-s)} \mathbf{J}(s) \right) - \\ &\quad \sum_{s=t_{k1}}^{t_k-1} \lambda_{\sigma(t_{k1})}^{2(t_k - 1-s)} \mathbf{J}(s) < \dots < \\ &\quad \mu^{N_{\sigma}[t_0, t_k]} \lambda_{\sigma(t_{k1})}^{2(t_k - t_{k1})} \lambda_{\sigma(t_{k(i-1)})}^{2(t_{k1} - t_{k(i-1)})} \dots \\ &\quad \lambda_{\sigma(t_0)}^{2t_k} \mathbf{V}_{\sigma(t_0)}(t_0) - \Phi(J(s)) \end{aligned} \quad (20)$$

其中

$$\begin{aligned} \Phi(J(s)) &= \mu^{N_{\sigma}[t_0, t_{k-1}]} \lambda_{\sigma(t_{k1})}^{2(t_k - t_{k1})} \lambda_{\sigma(t_{k(i-1)})}^{2(t_{k1} - t_{k(i-1)})} \dots \\ &\quad \lambda_{\sigma(t_{k1})}^{2t_{k2}} \sum_{s=t_{k1}}^{t_{k2}-1} \lambda_{\sigma(t_{k1})}^{2(t_{k2} - 1-s)} \mathbf{J}(s) + \\ &\quad \mu^{N_{\sigma}[t_0, t_{k-1}] - 1} \lambda_{\sigma(t_{k1})}^{2(t_k - t_{k1})} \lambda_{\sigma(t_{k(i-1)})}^{2(t_{k1} - t_{k(i-1)})} \dots \\ &\quad \lambda_{\sigma(t_{k2})}^{2(t_{k3} - t_{k2})} \sum_{s=t_{k2}}^{t_{k3}-1} \lambda_{\sigma(t_{k2})}^{2(t_{k3} - 1-s)} \mathbf{J}(s) + \dots + \\ &\quad \mu^0 \sum_{s=t_{k1}}^{t_k-1} \lambda_{\sigma(t_{k1})}^{2(t_k - 1-s)} \mathbf{J}(s) \end{aligned}$$

进一步，结合式(13)和(20)，且根据关系式 $\mathbf{V}_{\sigma(t_k)}(t_k) \geq 0$ ，可得

$$\Phi(J(s)) < \rho^{2t_k}(\lambda, t_a) \mathbf{V}_{\sigma(t_0)}(t_0) - \mathbf{V}_{\sigma(t_k)}(t_k) \leqslant \rho^{2t_k}(\lambda, t_a) \mathbf{V}_{\sigma(t_0)}(t_0) \quad (21)$$

又因 $N_{\sigma}[t_0, t_{k-1}] \geq 0$ ，所以对 $\forall s \in \{0, \dots, t_{k-1}\}$ ，可得如下关系式：

$$\begin{aligned} \Phi(J(s)) &\geq \sum_{s=0}^{t_k-1} \mu^{N_{\sigma}[t_s, t_{k-1}]} \lambda_{\min}^{2(t_k - 1-s)} \mathbf{J}(s) \geqslant \\ &\quad \sum_{s=0}^{t_k-1} \lambda_{\min}^{2(t_k - 1-s)} \mathbf{J}(s) \end{aligned} \quad (22)$$

其中 $\lambda_{\min} = \min_{j \in Z} \{\lambda_j\}$ 。结合式(21)和(22)可得

$$\sum_{s=0}^{t_k-1} \lambda_{\min}^{2(t_k - 1-s)} \mathbf{J}(s) \leq \rho^{2t_k}(\lambda, t_a) \mathbf{V}_{\sigma(t_0)}(t_0) \quad (23)$$

对式(23)左右两边从 $t_k=1 \rightarrow +\infty$ 求和, 分别得

$$\sum_{t_k=1}^{+\infty} \sum_{s=0}^{t_k-1} \lambda_{\min}^{2(t_k-1-s)} J(s) = \left(\sum_{t_k=1+s}^{+\infty} \lambda_{\min}^{2(t_k-1-s)} \right) \sum_{s=0}^{+\infty} J(s) = \\ (1 - \lambda_{\min}^2)^{-1} \sum_{s=0}^{+\infty} J(s) \quad (24)$$

$$\sum_{t_k=1}^{+\infty} \rho^{2t_k} (\lambda, t_a) V_{\sigma(t_0)}(t_0) = \frac{\rho^{2t_k} (\lambda, t_a)}{1 - \rho^{2t_k} (\lambda, t_a)} V_{\sigma(t_0)}(t_0) \quad (25)$$

结合式(23)~(25)可得

$$\sum_{s=0}^{+\infty} J(s) \leq \frac{1 - \lambda_{\min}^2}{\rho^{-2t_k} (\lambda, t_a) - 1} V_{\sigma(t_0)}(t_0) \triangleq \bar{J}(\lambda, t_a) \quad (26)$$

即 $\bar{J}(\lambda, t_a) = \frac{1 - \lambda_{\min}^2}{\rho^{-2t_k} (\lambda, t_a) - 1} V_{\sigma(t_0)}(t_0)$ 时系统(5)具有保性能水平. 证毕.

先给出一个在后续证明中需要用到的引理.

引理 1^[16] 对任意矩阵 $A, P > 0$ 和 $Q > 0$, 不等式 $A^T Q A - P < 0$ 成立, 当且仅当存在一个矩阵 Y , 使得以下矩阵不等式成立:

$$\begin{pmatrix} -P & A^T Y \\ Y^T A & -Y - Y^T + Q \end{pmatrix} < 0$$

紧接着, 给出下面的定理. 该定理通过对一个优化问题的求解, 得到系统(5)的保性能控制器.

定理 3 考虑系统(5)和性能指标(16), 若存在正标量 $\lambda_j > 0, \lambda < 1$ 和 $\mu \geq 1$, 以及适当维数的矩阵 $X, V, R_j \geq 0, S_j \geq 0, j \in Z$, 使得以下优化问题

$$\min \delta$$

$$\text{s. t. 式(8), 式(9), } \hat{\Omega}_j < 0, \Psi < 0; j \in Z$$

$$R_a \leq \mu R_\beta, S_a \leq \mu S_\beta; \alpha, \beta \in Z \quad (27)$$

成立, 且有最小目标函数 δ^* . 那么具有增益矩阵 $K = V^{-1} X$ 的状态反馈控制器是一个最优反馈保性能控制器, 使系统(5)指数稳定且具有指数衰减率 $\rho(\lambda, t_a)$ 和保性能水平 $\bar{J}(\lambda, t_a)$. 其中

$$\hat{\Omega}_j \triangleq \begin{pmatrix} -\lambda^2 R_j + S_j & 0 & X^T A_{oj}^T + V^T B_{oj}^T & \Delta_1^T \\ * & -\lambda_j^2 S_j & V^T \tilde{B}_{oj}^T & \Delta_2^T \\ * & * & -X - X^T + R_j & 0 \\ * & * & * & -\delta G \end{pmatrix}$$

$$\Delta_1^T = (X^T \quad V^T \quad 0), \Delta_2^T = (0 \quad 0 \quad V^T)$$

$$G = \text{diag}\{G_1^{-1}, G_2^{-1}, G_3^{-1}\}$$

$$\Psi \triangleq \begin{pmatrix} -I & x^T(t_0) \\ * & -X - X^T + R_0 \end{pmatrix}; R_0 \in \{R_j, j \in Z\}$$

证明 定理 2 中的 $\hat{\Omega}_j < 0$ 等价于

$$\begin{pmatrix} \Lambda_1 & 0 & A_j^T Y \\ * & -\lambda_j^2 Q_j + K^T G_3 K & B_j^T Y \\ * & * & -Y - Y^T + P_j \end{pmatrix} < 0 \quad (28)$$

其中 $\Lambda_1 = -\lambda^2 P_j + Q_j + G_1 + K^T G_2 K$. 由上式可知, 矩阵 Y 是可逆的. 定义 $X = \delta Y^{-1}$, 记 $V = KX$, $R_j = X^T P_j X / \delta, S_j = X^T Q_j X / \delta$, 对式(28)分别左乘矩阵 $\text{diag}\{X^T, X^T, X^T\}$, 右乘矩阵 $\text{diag}\{X, X, X\}$, 再应用 Schur 补定理即可得到不等式 $\hat{\Omega}_j < 0$.

对不等式 $P_a \leq \mu P_\beta$ 和 $Q_a \leq \mu Q_\beta$ 都分别左乘矩阵 $\delta^{-1/2} X^T$, 右乘矩阵 $\delta^{-1/2} X$, 即可得到矩阵不等式 $R_a \leq \mu R_\beta, S_a \leq \mu S_\beta, \alpha, \beta \in Z$.

定义 $P_0 = P_{\sigma(t_0)} \in \{P_j, j \in Z\}$, 由 $V_{\sigma(t_0)}(t_0) = x^T(t_0) P_{\sigma(t_0)} x(t_0) < \delta$, 可得

$$\Psi \triangleq \begin{pmatrix} -\delta I & x^T(t_0) Y \\ * & -Y - Y^T + P_0 \end{pmatrix} < 0 \quad (29)$$

对式(29)分别左乘矩阵 $\text{diag}\{\delta^{-1/2} I, \delta^{-1/2} X^T\}$, 右乘矩阵 $\text{diag}\{\delta^{-1/2} X, \delta^{-1/2} I\}$, 可得不等式 $\Psi < 0$. 证毕.

4 示例

考虑一个文献[17]中简化的实际直流电机模型, $x = (\theta \quad \omega)^T$ 是其状态量, 其中 θ 和 ω 的物理意义分别表示电机的角位置和角速度, 其状态空间模型表述如下:

$$\dot{x} = \begin{pmatrix} 0 & 1 \\ 1 & -217.4 \end{pmatrix} x + \begin{pmatrix} 0 \\ 1669.5 \end{pmatrix} u \quad (30)$$

选取系统的采样周期 $T = 5$ ms, 执行周期 $T_0 = 1$ ms, 则 $n = 5$. 由此可得

$$A_0 = \begin{pmatrix} 1.0000 & 0.0009 \\ 0.0009 & 0.8046 \end{pmatrix}, B_0 = \begin{pmatrix} 0.0008 \\ 1.5005 \end{pmatrix}$$

假设 $\hat{n} = 1$, 即系统的短时延总是满足条件 $\tau \leq T_0$. 另外, 假设 $\bar{M} = 3$, 即 $m \in \{1, 2, 3\}$. 因此, 设 $n_1(k)$ 的取值为 $n_1(k) \in \bar{Z} \triangleq \{1, 6, 8, 10, 12\}$, 即整个切换系统模型由 5 个子系统 $S_j (j \in \bar{Z})$ 组成.

选取 $\mu = 1.01, \lambda_1 = 0.96, \lambda_6 = 1.20, \lambda_8 = 1.25, \lambda_{10} = 1.30, \lambda_{12} = 1.32$, 求解优化问题(27)得到一个可行的控制器增益

$$K = (-2.8279 \quad -0.0143)$$

为满足条件(8), 可取 $\lambda = 0.99$. 此时, 所考虑的闭环系统总能指数稳定, 并且具有指数衰减率 $\rho = \lambda \mu^{1/2} = 0.995$.

假设在时间间隔 $[t_0, t_{100}]$ 内, 系统遭受 DoS

攻击的情况由以下子系统切换序列

$$\begin{array}{cccccc} S_1 \cdots S_1 & S_6 & S_1 \cdots S_1 & S_8 & S_1 \cdots S_1 & S_6 S_{10} \\ \underbrace{\hspace{1cm}}_{15} & & \underbrace{\hspace{1cm}}_{15} & & \underbrace{\hspace{1cm}}_{15} & \\ S_1 \cdots S_1 & S_{12} & S_1 \cdots S_1 & & & S_8 S_{10} \\ \underbrace{\hspace{1cm}}_{15} & & \underbrace{\hspace{1cm}}_{18} & & & \end{array}$$

表示,则子系统 $S_1, S_6, S_8, S_{10}, S_{12}$ 分别发生了 93、2、2、2、1 次.由定理 3 可知,在控制器 $u(t_k) = Kx(t_k)$ 的作用下,闭环系统指数稳定,并且具有指数衰减率 $\rho=0.995$.

给定 $x(t_0)=(0.5 \quad 0.2)^T$ 为系统(30)的初始状态,仿真结果如图 2、3 所示.图 2 是发生 DoS 攻击时刻的分布图.图 3 是 DoS 攻击下的系统状态轨迹图,由于图中角位移 θ 的状态曲线在 DoS 攻击下变化较缓,故选取其中一部分受影响的曲线(小方圈 A 包围的曲线)进行放大.图 3 中 I~III 反映了系统(30)在遭受 DoS 攻击时系统性能的变化情况.该仿真结果说明了所设计的保性能控制器的有效性.

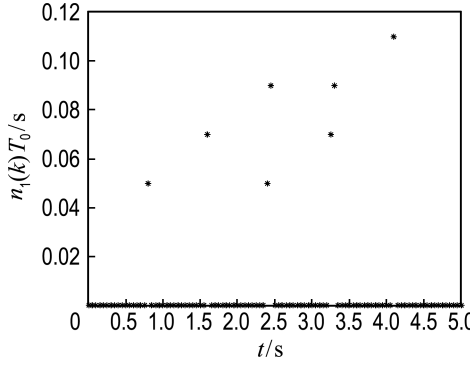


图 2 DoS 攻击分布

Fig. 2 Distribution of DoS attacks

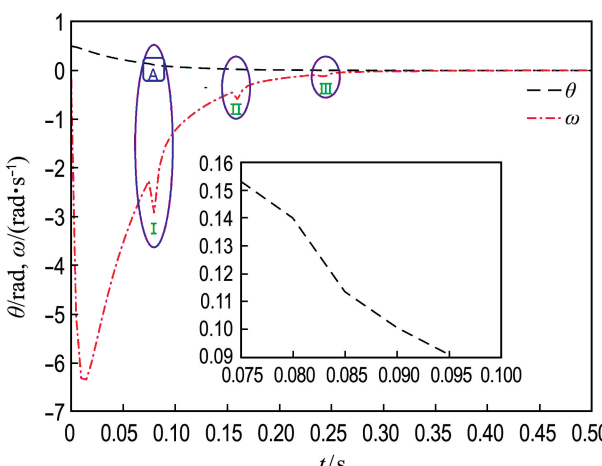


图 3 DoS 攻击下的系统状态轨迹

Fig. 3 State trajectories of the system under DoS attacks

5 结语

本文同时考虑了短时延和 DoS 攻击对 NCS 性能的影响.首先,通过重新定义采样时间的处理方法,把 NCS 的短时延和两类 DoS 攻击问题统一建模成同时包含确定和不确定子系统的切换系统模型.随后,用切换系统的分析方法,给出了本文所考虑的 NCS 指数稳定的充分条件.进一步,通过给出保性能控制水平,设计了系统的最优保性能控制器.最后,通过一个仿真示例验证了所设计的保性能控制器的有效性.

参考文献:

- [1] OGREN P, FIORELLI E, LEONARD N E. Cooperative control of mobile sensor networks: Adaptive gradient climbing in a distributed environment [J]. *IEEE Transactions on Automatic Control*, 2004, **49**(8):1292-1302.
- [2] DING X C, POWERS M, EGERSTEDT M, et al. Executive decision support: Single-agent control of multiple UAVs [J]. *IEEE Robotics and Automation Magazine*, 2009, **16**(2):73-81.
- [3] ALAM A A, GATTAMI A, JOHANSSON K H. Suboptimal decentralized controller design for chain structures: Applications to vehicle formations [J]. *Proceedings of the IEEE Conference on Decision and Control*, 2011:6160938.
- [4] NILSSON J, BERNHARDSSON B. Analysis of real-time control systems with time delays [J]. *Proceedings of the IEEE Conference on Decision and Control*, 1996, **3**:3173-3178.
- [5] 朱其新. 网络控制系统的建模、分析与控制[D]. 南京:南京航空航天大学, 2003.
- [6] ZHU Qixin. Modeling, analysis and control of networked control systems [D]. Nanjing: Nanjing University of Aeronautics and Astronautics, 2003. (in Chinese)
- [7] LAKSHMAN T V, MADHOW U. Performance of TCP/IP for networks with high bandwidth-delay products and random loss [J]. *IEEE/ACM Transactions on Networking*, 1997, **5**(3):336-350.
- [8] IASIELLO E. Cyber attack: A dull tool to shape foreign policy [J]. *International Conference on Cyber Conflict, CYCON*, 2013:6568392.
- [9] UMA M, PADMAVATHI G. A survey on various cyber attacks and their classification [J].

- International Journal of Network Security**, 2013, **15**(5):390-396.
- [9] ZHANG Heng, CHENG Peng, WU Junfeng, *et al.* Online deception attack against remote state estimation (IFAC-PapersOnline) [J]. **IFAC Proceedings Volumes**, 2014, **19**:128-133.
- [10] YUAN Yuan, SUN Fuchun. Data fusion-based resilient control system under DoS attacks: A game theoretic approach [J]. **International Journal of Control, Automation and Systems**, 2015, **13**(3): 513-520.
- [11] DOLK V S, TESI P, DE PERSIS C, *et al.* Output-based event-triggered control systems under Denial-of-Service attacks [J]. **Proceedings of the IEEE Conference on Decision and Control**, 2015:7402972.
- [12] LI Y M, VOOS H, DAROUACH M. Robust H_{∞} cyber-attacks estimation for control systems [J]. **Proceedings of the 33rd Chinese Control Conference, CCC 2014**, 2014:6895451.
- [13] ROSHANY-YAMCHI S, CYCHOWSKI M, NEGENBORN R R, *et al.* Kalman filter-based distributed predictive control of large-scale multirate systems: Application to power networks [J]. **IEEE Transactions on Control Systems Technology**, 2013, **21**(1):27-39.
- [14] ZOU Y, CHEN T, LI S. Network-based predictive control of multirate systems [J]. **IET Control Theory and Applications**, 2010, **4**(7):1145-1156.
- [15] 张文安. 网络化控制系统的时延与丢包问题研究[D]. 杭州:浙江工业大学, 2010.
- ZHANG Wenan. Research on the delay and packet loss issues in networked control systems [D]. Hangzhou: Zhejiang University of Technology, 2010. (in Chinese)
- [16] BOYD S, GHAOUI L E, FERON E, *et al.* **Linear Matrix Inequalities in System and Control Theory** [M]. Philadelphia: SIAM, 1994.
- [17] LI Hongbo, CHOW M Y, SUN Zengqi. Optimal stabilizing gain selection for networked control systems with time delays and packet losses [J]. **IEEE Transactions on Control Systems Technology**, 2009, **17**(5):1154-1162.

Guaranteed cost control of networked control systems with short network-induced delays under DoS attacks

HE Shengquan, YU Li*

(College of Information Engineering, Zhejiang University of Technology, Hangzhou 310023, China)

Abstract: Aiming at Denial-of-Service (DoS) attacks, the stability of networked control systems (NCS) with short network-induced delays is analyzed, and guaranteed cost controller is designed. Firstly, the NCS is modeled as a discrete-time switched system model by redefining the sampling period. The model can unify the short network-induced delays and DoS attacks. Then, with the analysis method of the discrete-time switched systems, a sufficient condition is derived for the concerned NCS to be exponentially stable. Moreover, an optimal guaranteed cost controller is designed at a given guaranteed cost level. Finally, a simulation example is given to show the effectiveness of the result.

Key words: networked control systems(NCS); DoS attacks; short network-induced delays; switched systems; guaranteed cost control